

# معرفی سطوح گسیختگی انتقالی - دورانی و کاربرد آنها در مسائل ظرفیت باربری

نوید گنجیان (استادیار)

دانشکده‌ی فنی، دانشگاه آزاد اسلامی، واحد علوم و تحقیقات

فرج الله عسکری (استادیار)

بزوشنگاهین‌الملی زلزله‌شناسی و مهندسی زلزله

اورنگ فرزانه (استادیار)

دانشکده‌ی مهندسی عمران، دانشگاه تهران

در اغلب روش‌های تحلیل حدی پایداری، انتخاب مکانیسم گسیختگی اولین و مهم‌ترین مرحله محسوب می‌شود. مکانیسم‌های گسیختگی که تاکنون مورد استفاده قرار گرفته‌اند، در یکی از دو گروه مکانیسم‌های دارای حرکت دورانی یا حرکت انتقالی جای گرفته‌اند و در حالات ترکیبی قادر به ارائه پاسخ مناسب نبوده‌اند. علاوه بر این، مکانیسم‌های دورانی پیشنهادی فقط از یک بلوك صلب تشکیل شده و استفاده از سیستم‌های چندبلوکی در یک مکانیسم گسیختگی دورانی می‌پرساند. برای رفع این محدودیت‌ها، در نوشتار حاضر فرمول‌بندی سطوح گسیختگی دارای حرکت‌های انتقالی و دورانی استخراج شده و برای اولین بار، مکانیسم گسیختگی حاصل از ترکیب بلوك‌های صلب با حرکت‌های انتقالی و دورانی بر پایه‌ی روش تحلیل حدی مرز بالا معرفی شده است. برای تعیین مکانیسم گسیختگی بحرانی، الگوریتم مبتنی بر روش الگوریتم زنگی توسعه‌یافته و در نرم افزار تدوین شده مورد استفاده قرار گرفته است. به‌منظور بررسی صحت و دقت الگوریتم حاصل، نتایج تحلیل ظرفیت باربری پی‌های نواری تحت اثر بار مایل خارج از محور با نتایج دیگر روش‌های موجود مقایسه شده است. نتایج حاصله بیان‌گر دقیق مناسب روش پیشنهادی در عین سادگی است. مسئله‌ی تعیین ظرفیت باربری پی‌های تحت اثر بار خارج از محور واقع بر لایه‌های خاک متکی بر سنگ بسته، به عنوان نمونه‌ی از قابلیت‌های خاص مکانیسم پیشنهادی، مورد بررسی قرار گرفته است.

nganjian@ut.ac.ir  
askari@iiees.ac.ir  
ofarzane@ut.ac.ir

وازگان کلیدی: مکانیسم گسیختگی انتقالی - دورانی، ظرفیت باربری، تحلیل حدی مرز بالا.

## ۱. مقدمه

الگوی گسیختگی برای توده‌ی خاک تحت بار است. این الگوی گسیختگی (مکانیسم گسیختگی) باید تا حد امکان به واقعیت نزدیک باشد. البته تفاوت اساسی بین دو روش مذکور این است که در روش تحلیل حدی مرز بالا «قانون جریان خمیری وابسته» یا به عبارت دیگر، رابطه‌ی بین تansور تنش و تansور نمو کرنش خمیری منظور می‌شود. این موضوع ضمن ارتفاع دقت نسبی روش، در تعریف مکانیسم‌های مذکور می‌شود. روش تحلیل حدی مرز بالا از معادلات تعادل در حالت خمیری مشخصه تنش نیز که مبتنی بر انتگرال‌گیری از معادلات تعادل در حالت خمیری است، قانون جریان در نظر گرفته نمی‌شود. روش تحلیل حدی بر پایه‌ی اصل کار مجازی و فرض قانون جریان وابسته استوار بوده و شامل دو شیوه‌ی «مرز بالا» و «مرز پایین» است.

در مکانیک خاک، روش‌های رایج برای حل تحلیلی مسائل پایداری عبارت‌اند از: «تعادل حدی»، «خطوط مشخصه» و «تحلیل حدی». در روش تعادل حدی فقط معادلات کلی تعادل ارضا می‌شوند؛ قانون جریان در این روش در نظر گرفته نشده و شکل مکانیسم گسیختگی به صورت اختیاری انتخاب می‌شود. در روش خطوط مشخصه تنش نیز که مبتنی بر انتگرال‌گیری از معادلات تعادل در حالت خمیری است، قانون جریان در نظر گرفته نمی‌شود. روش تحلیل حدی بر پایه‌ی اصل کار مجازی و فرض قانون جریان وابسته استوار بوده و شامل دو شیوه‌ی «مرز بالا» و «مرز پایین» است.

مرحله‌ی اول در روش‌های تعادل حدی و تحلیل حدی مرز بالا، انتخاب یک

مکانیسم‌های گسیختگی که در این دو روش به کار بردۀ می‌شوند، اغلب متشکل از یک یا چند بلوك صلب‌اند که به‌وسیله‌ی مرزهای گسیختگی مستوی در حرکت

انتقالی، و غیرمستوی در حرکت دورانی از هم‌دیگر و نیز از بقیه‌ی توده خاک

تاریخ: دریافت ۳۰/۷/۱۳۸۷، اصلاحیه ۱۳۸۸/۲، پذیرش ۱۰/۱۸/۱۳۸۹.

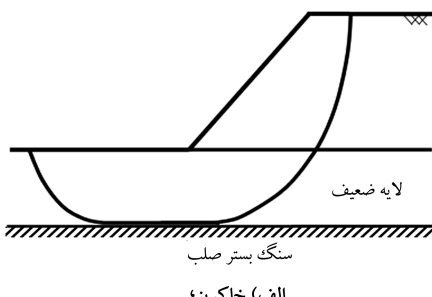
روشن مرز بالا، موجب به دست آمدن جواب‌های بسیار بیشتر از جواب‌های تجربی می‌شود. محدودیت‌های یادشده را می‌توان در دو گروه طبقه‌بندی کرد:

الف) در صورت استفاده از یک مکانیسم انتقالی مشتمل از گوه‌های صلب در مسائل تعیین ظرفیت باربری، بار خارجی در لحظه‌ی گسیختگی فقط می‌تواند حرکت انتقالی داشته باشد و نمی‌توان اثر لنگر ناشی از خروج از محوریت بار شالوده را در نظر گرفت. از طرف دیگر استفاده از یک بلوك با سطح گسیختگی مارپیچ لگاریتمی در بیشتر موارد، بهویژه در مسائل تعیین ظرفیت باربری، فرضی دور از واقعیت بوده و جواب‌های بسیار دست بالایی را در پی خواهد داشت.

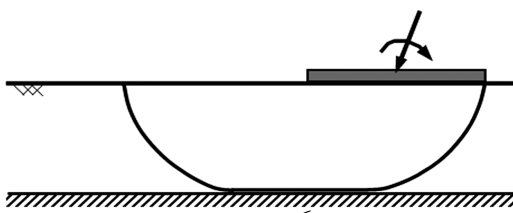
ب) نمی‌توان از مکانیسم‌های انتقالی یا دورانی در برخی حالات عملی که مکانیسم گسیختگی متأثر از وجود شرایط مرزی خاص است استفاده نمود؛ مثلاً در حالتی که شیروانی روی لایه‌ی خاک واقع بر سنگ بستر قرار دارد (شکل ۲ الف) یا در مسئله‌ی تعیین ظرفیت باربری پی‌های واقع بر لایه‌ی خاک متکی بر سنگ بستر (شکل ۲ ب)، مکانیسم گسیختگی از نوع دورانی - انتقالی خواهد بود.

در نوشтар حاضر با توجه به مبانی روش تحلیل حدی مرز بالا، مکانیسم گسیختگی مشتمل از سطوح جدیدی پیشنهاد می‌شود که ترکیب چند بلوك صلب دورانی یا چند بلوك دورانی - انتقالی را ممکن می‌سازد. بدین ترتیب مکانیسم گسیختگی می‌تواند با توجه به نحوه‌ی بارگذاری، دارای یکی از حرکت‌های دورانی، انتقالی، یا هر دو باشد.

به منظور بررسی کارایی و دقت مکانیسم پیشنهادی، پس از ارائهٔ فرمول‌بندی آن برای مسائل ظرفیت باربری، مقایسه‌های میان نتایج حاصل از این مکانیسم و نتایج روش‌های رایج تعیین ظرفیت باربری در حالات مختلف بارگذاری پی‌های نواری واقع بر زمین مسطح انجام می‌شود. در ادامه، استفاده از این مکانیسم برای تعیین ظرفیت باربری پی‌های واقع بر لایه‌ی خاک با ضخامت محدود تحت بارگذاری مرکب (شکل ۲ ب) بررسی شده و کارایی خاص این مکانیسم نشان داده می‌شود.

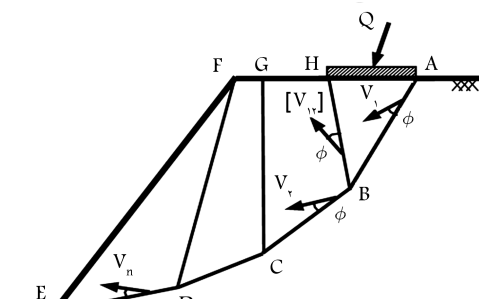


الف) خاکریز؛

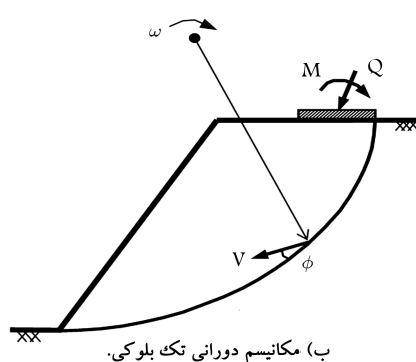


ب) پی تحت اثر بارگذاری مرکب.

شکل ۲. نمونه‌هایی از موارد کاربرد مکانیسم‌های گسیختگی دورانی - انتقالی در مسائل خاص.



الف) مکانیسم انتقالی شامل چند گوه صلب؛



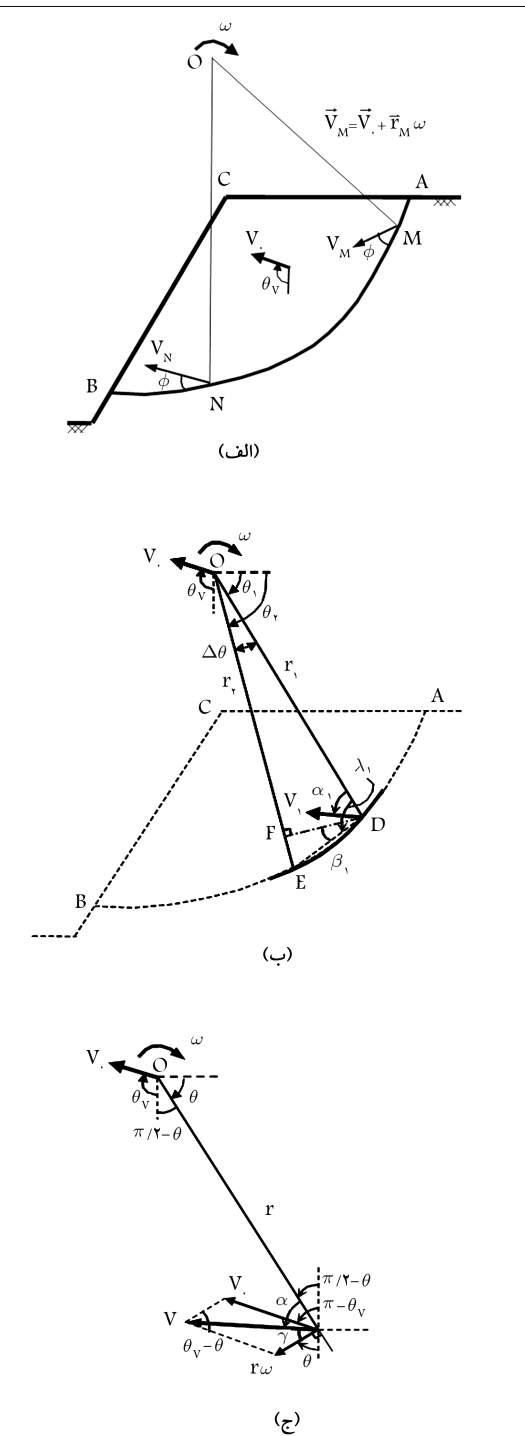
ب) مکانیسم دورانی تک بلوكی.

شکل ۱. مکانیسم‌های گسیختگی رایج در بررسی مسائل پایداری.

جدا می‌شوند. برای مدل کردن حرکت دورانی در مسائل دو بعدی (کرنش مسطح) به روش تحلیل حدی مرز بالا خط لغزش در شرایط زهکشی نشده ( $\phi = 0^\circ$ ) لزوماً دایری و در شرایط زهکشی شده ( $\phi \neq 0^\circ$ ) لزوماً مارپیچ لگاریتمی خواهد بود. همچنین نتیجه‌ی رعایت شرط سازگاری کرنش‌ها استفاده از مکانیسمی مشتمل از چند بلوك دارای حرکت انتقالی (مکانیسم گوه‌بی، نظیر شکل ۱ الف) یا مکانیسمی مشتمل از یک بلوك با حرکت دورانی (مکانیسم فرضی روش تیاور در زمینه‌ی پابداری شیروانی‌ها، نظیر شکل ۱ ب) بوده است. به عبارت دیگر، امکان استفاده از چند گوه صلب دورانی یا تلفیق حرکت دورانی و انتقالی گوه‌ها در یک مکانیسم گسیختگی واحد وجود نداشته، و همین نکته محدودیت‌های قابل ملاحظه‌ی را بهویژه برای تعیین ظرفیت باربری پی‌های تحت اثر خروج از محوریت ایجاد می‌کند.

تعیین ظرفیت باربری پی‌های نواری تحت بارگذاری مرکب (بار مایل خارج از محور) جزو مسائل پایه‌یی در مهندسی ریوتکنیک است. نوع بارگذاری در اغلب سازه‌ها به نحوی است که شالوده‌ی آنها تحت اثر بارهای قائم، افقی و نیز لنگر قرار می‌گیرد. روش رایج در اغلب تحقیقات صورت‌گرفته در این زمینه استفاده از ضرباب کاهنده‌ی تجربی (یا نیمه‌تجربی) بارگذاری مایل یا خارج از محور است که بر پایهٔ فرمول پیشنهادی ترازی در سال ۱۹۴۳<sup>[۱]</sup> اعمال می‌شود. برین اساس روابط گوناگونی ارائه شده است که از جمله رایج ترین آنها می‌توان به روابط مایرهوف،<sup>[۲]</sup> هنسن<sup>[۳]</sup> و وسیک<sup>[۴]</sup> اشاره کرد. دقت روابط ارائه شده برای پی‌های تحت بارگذاری مرکب نیز توسعه برخی از محققین مورد بررسی قرار گرفته است.<sup>[۵-۶]</sup>

برای بررسی نظری اثر خروج از محوریت بار بر ظرفیت باربری پی‌های نواری، استفاده از مکانیسم‌های دورانی ضروری است. اما نتایج حاصل از تحلیل‌ها حاکی از آن است که استفاده از مکانیسم‌های تک بلوكی (با سطح گسیختگی لوگ مارپیچ) در



شکل ۳. تعیین معادله‌ی سطوح انتقالی و دورانی هم‌زمان.

میان شعاع  $OD$  و قطاع  $DE$  است. با توجه به شرایط هندسی مسئله در حالت دیفرانسیلی و با در نظر گرفتن مثلث‌های  $ODE$  و  $DEF$  می‌توان نوشت:

$$\beta_1 = \lambda_1 - (\pi/2 - \Delta\theta) \quad (2)$$

$$DF = r_1 \sin \Delta\theta \quad (3)$$

$$EF = DF \tan \beta \quad (4)$$

## ۲. مبانی روش تحلیل حدی مرز بالا

روش تحلیل حدی که در قالب «قضایای حدی» مطرح شده است، تعمیم اصل «کار خمیری بیشینه» است که در سال ۱۹۴۸ مطرح شد. در سال ۱۹۵۲ محققین با تعمیم این اصل قضایای حدی را ارائه کردند.<sup>[۱۲]</sup> فرضیات مورد استفاده در روش تحلیل حدی عبارت اند از:

الف) رفتار مصالح در حالت حدی، خمیری کامل است.

ب) حالت حدی با تابعی محدب به نام «تابع تسیمی» و به معادله‌ی  $\sigma_{ij} = F(\sigma_{ij})$  بیان می‌شود. نمایش این تابع در فضای تشن‌های اصلی به سطح تسیمی موسوم است.

ج) رفتار خمیری مصالح تابع قانون جریان وابسته<sup>۲</sup> است؛ به عبارت دیگر

$$\dot{\epsilon}_{ij}^P = \lambda \frac{\partial F(\sigma_{ij})}{\partial \sigma_{ij}}; \quad \lambda \geq 0 \quad (1)$$

که در آن  $\dot{\epsilon}_{ij}^P$  تانسور نمو یا سرعت تغییر شکل نسبی خمیری،  $\sigma_{ij}$  تانسور تنش،  $\lambda$  تابعی اسکالر و غیر منفی است. برقراری قانون جریان وابسته در مصالح تابع معیار گسیختگی موهر-کولمب بدان معناست که در لحظه‌ی گسیختگی، بردار نمو کرنش خمیری (بردار سرعت نسبی) در هر نقطه از سطح گسیختگی بر سطح تسیم عمود است.

در روش تحلیل حدی مرز بالا، با در نظر گرفتن یک میدان سرعت فرضی قابل قبول (از نظر سینماتیکی) و مساوی قراردادن نمو کار نیروهای خارجی و داخلی، بر گسیختگی نهایی محاسبه می‌شود. براساس قضیه‌ی مرز بالا، اگر میدان سرعت در نظر گرفته شده شرایط مرزی سرعت و شرایط سازگاری را ارضا کند، بر محاسبه شده بیش از بر گسیختگی واقعی خواهد بود.

از جمله شرایط مطروحه برای قابل قبول یک میدان سرعت فرضی، برقراری شرط قانون جریان وابسته است؛ بدین معنا که باید در هر نقطه از سطح گسیختگی بردار سرعت نسبی بین بلوك‌ها زاویه‌ی برابر با زاویه اصطکاک داخلی خاک ( $\phi$ ) با امتداد مماس بر سطح گسیختگی بسازد. به عنوان مثال، در مکانیسم نشان داده شده در شکل ۱(الف)، بردار سرعت بلوك اول ( $V_1$ ) با سطح  $AB$  و نیز بردار سرعت نسبی بین بلوك‌های ۱ و ۲ (عنی  $V_{12}$ ) با سطح  $BH$  زاویه‌ی  $\phi$  دارد.

## ۳. تعیین معادله‌ی سطوح انتقالی-دورانی

برای تعیین معادله‌ی سطح گسیختگی دارای حرکت‌های دورانی و انتقالی (شکل ۳) مکانیسمی مشکل از یک بلوك صلب ABC که هم‌زمان تحت اثر حرکت دورانی حول نقطه‌ی  $O$  (با سرعت دورانی  $\omega$ ) و حرکت انتقالی با سرعت  $V$  قرار دارد، در نظر گرفته می‌شود. شرط اصلی در روش مرز بالا برای قابل قبول مکانیسم گسیختگی (میدان نایپوستگی سرعت) این است که در تمامی نقاط واقع بر سطح نایپوستگی، بردار سرعت نسبی بلوك ( $\dot{\tau}(\omega + \dot{\tau}V)$ ) با مماس بر سطح، زاویه‌ی برابر با زاویه اصطکاک داخلی خاک ( $\phi$ ) داشته باشد. با توجه به این شرط معادله‌ی سطح گسیختگی AB به دست می‌آید. بدین‌منظور، دو نقطه‌ی دلخواه D و E با فاصله AB و با مختصات اندک از یکدیگر فرض می‌شوند (شکل ۳). مختصات این نقاط در سیستم قطبی با مرکز O به ترتیب  $(r_2, \theta_2)$  و  $(r_1, \theta_1)$  خواهد بود. با این فرضیات،  $\alpha_1$  زاویه‌ی میان بردار سرعت بلوك ABC در نقطه‌ی D (عنی  $V_1$ ) و شعاع OD،  $\beta_1$  زاویه‌ی میان قطاع DE و خط DF، و  $\gamma$  زاویه‌ی

<sup>2</sup> واقع بر سطح AB و با فاصله‌ی اندک از یکدیگر فرض می‌شوند (شکل ۳).

<sup>3</sup> مختصات این نقاط در سیستم قطبی با مرکز O به ترتیب  $(r_2, \theta_2)$  و  $(r_1, \theta_1)$  خواهد بود. با این فرضیات،  $\alpha_1$  زاویه‌ی میان بردار سرعت بلوك ABC در نقطه‌ی D (عنی  $V_1$ ) و شعاع OD،  $\beta_1$  زاویه‌ی میان قطاع DE و خط DF، و  $\gamma$  زاویه‌ی

بنابراین:

$$(5)$$

لازم به ذکر است که اگرچه می‌توان ترکیب حرکت‌های دورانی و انتقالی را معادل با یک حرکت دورانی حول نقطه‌ی بی دیگر در نظر گرفت، اما فرض سرعت‌های انتقالی و دورانی، امکان داشتن بلوك‌هایی با حرکت صرفاً انتقالی و نیز ترکیب بلوك‌های انتقالی و دورانی را در صورت لزوم میسر می‌سازد.

#### ۴. استفاده از سطوح گسیختگی پیشنهادی در مسائل تعیین ظرفیت باربری

از مهم‌ترین محدودیت‌های موجود در کاربرد مکانیسم‌های لغزش دورانی در مسائل تعیین ظرفیت باربری به روش مرز بالا، نزخ کم جمع‌شدگی آنها در خاک‌های دارای زاویه اصطکاک داخلی است که موجب افزایش مقدار جواب‌های مرز بالا و به عبارتی دورشدن جواب‌های مرز بالا از جواب واقعی می‌شود. با افزایش تعداد بلوك‌های تشکیل‌دهنده مکانیسم لغزش، انعطاف‌پذیری آن بیشتر شده و امکان جمع‌شدمند مکانیسم گسیختگی فراهم می‌آید. به‌این‌ترتیب شکل مکانیسم گسیختگی به واقعیت نزدیک‌تر و جواب‌های حاصل نیز به مقدار حقیقی نزدیک‌تر می‌شوند.

در شکل ۴۲ الف مکانیسم گسیختگی فرضی متشکل از سه بلوك صلب نشان داده شده است. هر بلوك دارای حرکت دورانی با سرعت  $\omega$  حول مرکز دوران مربوطه و حرکت انتقالی با سرعت  $V_r$  در نظر گرفته می‌شود. تعیین سطح کف هر بلوك با توجه به سرعت‌های متناظر و با استفاده از روابط ارائه شده در بخش قبیل امکان‌پذیر است. سطوح بین بلوك‌ها نیز با توجه به فرضیات مورد استفاده در این روش و محدودیت‌های میدان سرعت مشخص می‌شوند. مثلاً در نقطه‌ی فرضی P روی سطح بین بلوك‌های ۱ و ۲ (شکل ۴ ب) داریم:

$$\vec{V}_{12} = \vec{V}_1 - \vec{V}_2 \quad (18)$$

$$\vec{V}_{12} = (y_1\omega_1 - y_2\omega_2 + V_{r1} \cdot \text{Cos}\theta_{V1} - V_{r2} \cdot \text{Cos}\theta_{V2})\hat{i} \\ - (x_1\omega_1 - x_2\omega_2 + V_{r1} \cdot \text{Sin}\theta_{V1} - V_{r2} \cdot \text{Sin}\theta_{V2})\hat{j}$$

$$\vec{T} = dX\hat{i} + dY\hat{j} \quad (19)$$

$$\vec{T} \cdot \vec{V}_{12} = |\vec{T}| \cdot |\vec{V}_{12}| \cdot \text{Cos}(\varphi) \quad (20)$$

$$x_1 = X + x_{r1}, \quad (21)$$

$$x_2 = X + x_{r2}, \quad (22)$$

$$y_1 = Y + y_{r1}, \quad (23)$$

$$y_2 = Y - y_{r2} \quad (24)$$

با استفاده از رابطه‌های داده شده و در نظر گرفتن فرض اصلی (رابطه‌ی ۲۰)، معادله‌ی دیفرانسیل متناظر با سطح میانی به دست می‌آید که با استفاده از روش‌های عددی محاسبه می‌شود. البته یادآور می‌شود که هنگام تشکیل سطح گسیختگی میان هر دو بلوك (به صورت گام‌به‌گام)، همواره شرایط لازم برای بردار سرعت نسبی بین دو بلوك کنترل می‌شود.

تعیین ظرفیت باربری بی‌های نواری تحت اثر بارگذاری مرکب، با فرض مکانیسمی متشکل از سه بلوك دارای حرکت‌های دورانی و انتقالی مجرأ امکان‌پذیر است. بدین‌منظور در این تحقیق برنامه‌ی مبتنی بر نظریه‌ی تحلیل حدی مرز بالا و الگوریتم پیشنهادی تهیه شده است. این برنامه در سه بخش اصلی تدوین شده است: تشکیل مکانیسم گسیختگی، تعیین ظرفیت باربری حدی متناظر با هر مکانیسم فرضی، و

$$EF = (r_1 \text{Sin}\Delta\theta)\text{tg}(\lambda + \Delta\theta - \pi/2) \quad (5)$$

در حالت حدی که  $\Delta\theta$  به سمت صفر میل می‌کند، پاره خط ED در نقطه‌ی D سطح گسیختگی مماس است و با بردار  $V_1$  زاویه  $\phi$  می‌سازد. همچنین پاره خط EF به سمت dr میل می‌کند. بدین‌ترتیب می‌توان نوشت:

$$\lambda_1 = \alpha_1 + \phi \quad (6)$$

$$dr = (r_1 d\theta)\text{tg}(\alpha_1 + \phi - \pi/2) \quad (7)$$

که در آن زاویه  $\alpha_1$  مجہول است و باید براساس پارامترهای مسئله به دست آید. بدین‌منظور نقطه‌ی D لخلواه روی سطح گسیختگی انتخاب شده و زاویه میان بردار سرعت دورانی  $r\omega$  و بردار سرعت برایند  $V$  در این نقطه (شکل ۳ ج) برابر  $\gamma$  فرض می‌شود:

$$\gamma = \pi/2 - \alpha \quad (8)$$

$$\vec{V}_r \wedge \vec{r}\omega = \theta_V - \theta \quad (9)$$

$$\text{Sin}\gamma = (V_r/V)\text{Sin}|\theta_V - \theta| \quad (10)$$

در نتیجه:

$$\alpha = \text{ArcCos}[(V_r/V)\text{Sin}|\theta_V - \theta|] \quad (11)$$

که

$$V = \sqrt{V_r^2 + (r\omega)^2 + 2r\omega V \cdot \text{Cos}(\theta_V - \theta)} \quad (12)$$

با استفاده از روابط فوق، معادله‌ی دیفرانسیل مربوط به سطح مورد نظر به دست می‌آید:

$$\frac{dr}{r} = \text{tg}[(\alpha - \pi/2) + \varphi] \cdot d\theta \quad (13)$$

که در آن:

$$\alpha = \text{ArcCos} \left[ \frac{V_r}{\sqrt{V_r^2 + (r\omega)^2 + 2r\omega V \cdot \text{Cos}(\theta_V - \theta)}} \cdot \text{Sin}(\theta_V - \theta) \right] \quad (14)$$

با توجه به پیچیدگی معادله‌ی حاصل، امکان حل صریح آن به صورت تحلیلی و تعیین معادله‌ی سطح مورد نظر وجود ندارد، و به منظور حل آن در این تحقیق استفاده از روش‌های عددی ضرورت می‌یابد. در حالت خاص مکانیسم دورانی (سرعت انتقالی برابر با صفر،  $\theta = 0^\circ$ ) داریم:

$$\frac{dr}{r} = \text{tg}(\varphi) \cdot d\theta \quad (15)$$

$$r = r_0 \cdot e^{\theta \cdot \text{tg}(\varphi)} \quad (16)$$

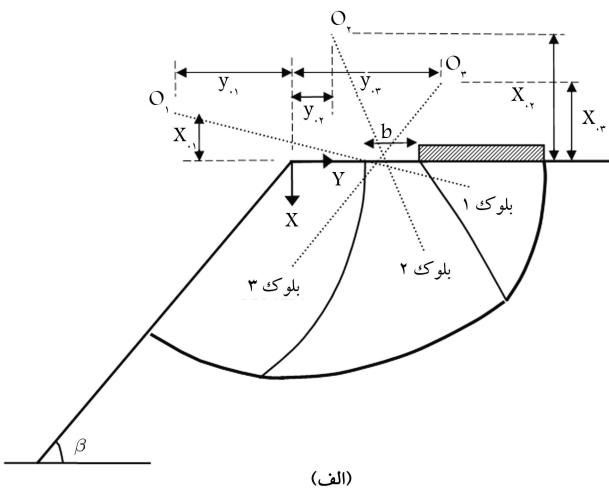
رابطه‌ی ۱۶ معادله‌ی سطح معروف لوگ مارپیچ است. در دیگر حالت خاص، اگر مکانیسم دارای سرعت انتقالی ( $V_r$ ) و سرعت دورانی صفر ( $\omega = 0$ ) فرض شود، رابطه‌ی ۱۷ به دست می‌آید. این رابطه، معادله‌ی سطحی مستوی است که با بردار سرعت انتقالی  $V_r$  زاویه  $\phi$  می‌سازد.

$$r = c_r / \text{Cos}(\theta - \theta_V + \phi) \quad (17)$$

بلوک های ۱ و ۲) به دست می آید. با ادامه ای این روند، مختصات نقطه‌ی E، یعنی محل تقاطع دو منحنی مذکور، محاسبه می شود.

ب) تشکیل بلوک دوم. تعیین هندسه‌ی این بلوک نیز مشابه با بلوک اول صورت می‌گیرد. منحنی کف این بلوک (منحنی EF) از نقطه‌ی E شروع شده و براساس متغیرهای این بلوک تعیین می شود. هم زمان منحنی مرز میان بلوک های ۲ و ۳ نیز با استفاده از روابط ۱۸ تا ۲۴، و براساس متغیرهای بلوک های ۲ و ۳ و نیز متغیر b تعیین می شود. بدین ترتیب محل تقاطع دو منحنی مذکور (نقطه F) مشخص می شود.

ج) تشکیل بلوک سوم. هندسه‌ی کف این بلوک (منحنی FG) نیز با توجه به متغیرهای این بلوک از نقطه‌ی F تا محل تقاطع با سطح شیروانی (نقطه G) به دست می آید.



(الف)

**۶. ظرفیت باربری متناظر با مکانیسم گسیختگی فرضی**  
برای تعیین بار حدی ( $Q_{\text{u}}$ ) وارد بر پی در روش مرز بالا، محاسبه‌ی توان نیروهای داخلی و خارجی در لحظه‌ی گسیختگی (با توجه به میدان ناپیوستگی سرعت فرضی) ضرورت می‌یابد. توان نیروهای داخلی ناشی از مقاومت برشی خاک روی سطوح گسیختگی (سطح کف بلوک‌ها و سطح میانی) با استفاده از رابطه‌ی ۲۵ قابل محاسبه است:

$$U_i = \cos\varphi \cdot \left[ \sum_{i=1}^3 \int c_s(V_i)_s ds + \sum_{j=1}^r \int c_s(V_{j,j+1})_s ds \right] \quad (25)$$

که در آن  $c_s$  ضریب چسبندگی خاک در عمق متناظر با جزء سطح  $a_m$  ( $V_i$ ) مقدار سرعت جزء سطح  $a_m$  واقع بر سطح کف بلوک  $a_m$  ( $V_{j,j+1}$ ) جزء سطح  $a_m$  واقع در سطح مشترک بلوک‌های  $j$  و  $j+1$  زام است.

نیروهای خارجی نیز شامل وزن خاک و نیروی وارد بر پی واقع بر شیروانی هستند. توان نیروی وزن با استفاده از رابطه‌ی ۲۶، و توان بار حدی پی با استفاده از رابطه‌ی ۲۷ تعیین می شود.

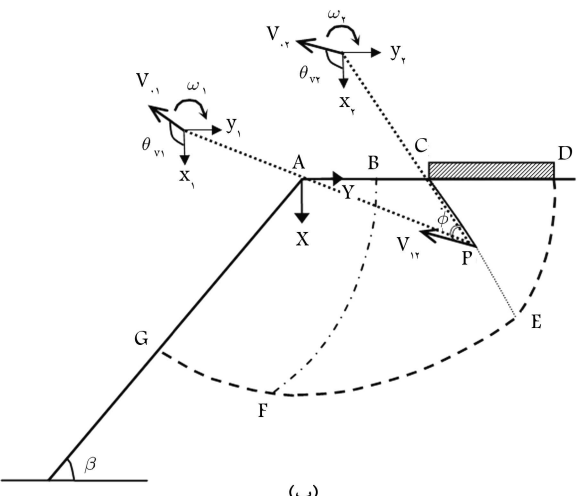
$$U_w = \sum_{v=1}^r \int \gamma_v (V_{vi})_v dv \quad (26)$$

$$U_Q = Q \cdot \{\omega_1 [(y_{01} + a + B/2 + e) \cdot \cos\alpha + x_{01} \sin\alpha] + V_{01} [\cos\theta_V \cos\alpha + \sin\theta_V \sin\alpha]\} \quad (27)$$

در روابط یادشده،  $v$  وزن مخصوص خاک در عمق متناظر با جزء حجم  $v$ ام و  $(V_{vi})$  مؤلفه‌ی قائم سرعت جزء حجم  $v$ ام واقع در بلوک  $v$ ام است. سایر پارامترهای مورد استفاده در روابط فوق در شکل ۴ نشان داده شده‌اند.

با استفاده از روابط ۲۵ تا ۲۷ و اصل تساوی توان نیروهای داخلی و خارجی، بار حدی متناظر با مکانیسم گسیختگی فرضی محاسبه می شود (رابطه‌ی ۲۸).

$$U_i = U_W + U_Q \quad (28)$$



(ب)

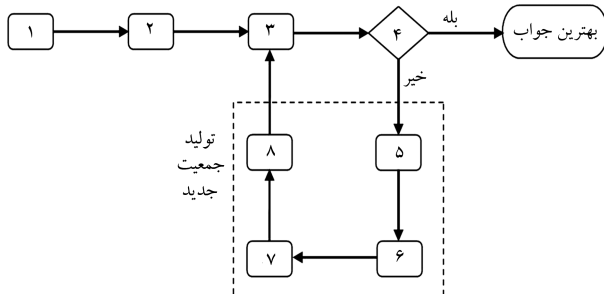
شکل ۴. پارامترهای مورد استفاده در تعیین معادله‌ی سطح مکانیسم سه‌بلوکی دارای حرکت دورانی و انتقالی.

بهینه‌سازی مکانیسم برای دست‌یابی به ظرفیت باربری کمینه متناظر با ضعیف‌ترین مکانیسم گسیختگی.

## ۵. تشکیل مکانیسم گسیختگی فرضی

مکانیسم گسیختگی با فرض مقدار متغیرهای نشان داده شده در شکل ۴ تشکیل می شود. این متغیرها شامل مختصات مراکز دوران بلوک‌ها ( $x_{01}, x_{02}, x_{03}, y_{01}, y_{02}, y_{03}$ ،  $x_{04}, x_{05}, x_{06}, y_{04}, y_{05}, y_{06}$ ،  $\theta_{v1}, \theta_{v2}, \theta_{v3}, \theta_{v4}, \theta_{v5}, \theta_{v6}, \theta_{v7}$ )، سرعت‌های دورانی و انتقالی متناظر با هر بلوک ( $V_{01}, V_{02}, V_{03}, V_{04}, V_{05}, V_{06}, V_{07}$ )، و نقطه‌ی شروع مرز میان بلوک‌های دوم و سوم (b) هستند. مراحل مختلف تشکیل مکانیسم گسیختگی، با توجه به شکل ۴ ب، عبارت است از:

الف) تشکیل بلوک اول. هندسه‌ی کف این بلوک (منحنی DE) براساس رابطه‌های ۱۳ و ۱۴، با شروع از نقطه‌ی D (براساس متغیرهای این بلوک) تعیین می شود. هم زمان مختصات نقاط واقع بر فصل مشترک این بلوک و بلوک شماره ۲ نیز با استفاده از رابطه‌های ۱۸ تا ۲۴، با شروع از نقطه‌ی C (براساس متغیرهای



شکل ۵. فلوچارت مراحل اصلی مورد استفاده در الگوریتم‌های ژنتیک.

### ۱.۱.۷ کدگذاری

به منظور شبیه‌سازی متغیرها با ژن‌های مورد بحث در علم و راثت، غالباً الگوریتم ژنتیک متغیرها را به صورت رشته‌های دودویی درمی‌آورد. اما خصوصیات مطلوب الگوریتم ژنتیک صرفاً وابسته به تبدیل متغیرها به رشته‌های دودویی نیست، و این الگوریتم قابلیت در نظر گرفتن متغیرها به صورت اعداد واقعی را نیز دارد. به چند دلیل در تحقیق حاضر استفاده از روش مذکور بر روشن دودویی برتری داشته است از جمله: ۱. استفاده از دامنه‌های جستجوی وسیع تر حتی بازه‌هایی با محدودی نامعلوم، بدون کاهش دقت محاسبات می‌شود؛ ۲. نمایش متغیرها به صورت اعداد طبیعی استفاده از خاصیت تدریجی بودن تابع در این بازه را ممکن می‌سازد و از این طریق الگوریتم را در بهینه‌سازی متغیرها به صورت محلی توانمند می‌سازد — که این امتیازی ویژه است. ۳. به فرمول‌بندی طبیعی اغلب مسائل نزدیک است و به مراحل کدگذاری و رمزگشایی معمول در روش الگوریتم ژنتیک نیازی ندارد. در تحقیق حاضر، با توجه به شرایط مسئله، مجموعه‌ی ۱۶ عضوی از اعداد حقیقی به صورت یک بردار (کروموزوم) در نظر گرفته شده‌اند.

### ۱.۱.۸ ایجاد جمعیت اولیه

قبل از آغاز بهینه‌یابی جواب‌ها (تولید نسل)، باید جمعیت اولیه‌ی از جواب‌ها (نسل اول) وجود داشته باشد. در تحلیل‌های انجام‌شده، تعداد اعضا در هر نسل برابر ۱۸ تا ۲۴ در نظر گرفته شده است. تولید جمعیت اولیه با توجه به محدودیت‌های هر متغیر و بازه کاربرد آن، به صورت تصادفی در بازه‌های مختلف صورت می‌گیرد.

### ۱.۱.۹ ارزیابی جواب‌ها براساس تابع هدف

ارزش هر کروموزوم یا مجموعه‌ی متغیرها با توجه به مقدار تابع هدف متناظر با آن ارزیابی می‌شود. در این تحقیق هدف از بهینه‌یابی، یافتن کوچک‌ترین جواب مربوط بالا (ظرفیت برابری) است. اما از آنجا که در مسائل رایج بهینه‌یابی به روش الگوریتم ژنتیک، هدف تعیین مقدار بهینه‌ی ایک تابع است، در تحقیق حاضر نیز تابع هدف، معکوس ظرفیت برابری در نظر گرفته شده است. شایان ذکر است که در این مرحله محدودیت‌های خاص مسئله کنترل شده و چنانچه هر یک از متغیرها مربوط به کروموزوم انتخابی شرایط مورد نظر را نداشته باشد، مقدار تابع هدف متناظر با این کروموزوم نزدیک به صفر انتخاب می‌شود و احتمال حذف آن در نسل‌های بعدی افزایش می‌یابد. به عبارت دیگر کروموزوم‌های غیر شایسته جریمه می‌شوند.

### ۱.۱.۱۰ معیار کفایت بهینه‌سازی

پس از ارزیابی شایستگی جواب‌ها و قبل از ورود به چرخه تولید نسل بعدی، کفایت بهینه‌سازی با توجه به معیار در نظر گرفته شده کنترل می‌شود و در صورت عدم ارضای شرایط مورد نظر، فرایند بهینه‌یابی ادامه می‌یابد. در برنامه‌ی تدوین شده در

## ۷. تعیین مکانیسم گسیختگی بحرانی

چنان‌که اشاره شد، شکل مکانیسم گسیختگی پیشنهادی و در نتیجه ظرفیت برابری بی، تابعی از ۱۶ متغیر است. تعیین بحرانی ترین مکانیسم گسیختگی متناظر با حداقل ظرفیت برابری، بخش نهایی الگوریتم پیشنهادی را تشکیل می‌دهد. بیشتر روش‌های تعیین سطح لغزش بحرانی در مسائل تحلیل پایداری شیروانی‌ها مبتنی هستند بر روشن‌های رایج بهینه‌سازی غیرخطی یا روشن‌های سعی و خط. عیب این روش‌ها عدم قطعیت در تعیین مقدار بهینه‌ی مطلق تابع و احتمال دست‌یابی به مقدار بهینه‌ی نسبی است. بهویه در شرایطی که مسئله پیچیده‌تر شده و تعداد متغیرها افزایش می‌یابد، نقص اینگونه روش‌ها بیشتر ملموس است و استفاده از روشن‌های نوین از کارآمدی بیشتری برخوردار خواهد بود.

در دهه‌های اخیر روش جایگزین مبتنی بر الگوریتم ژنتیک (GA) ارائه شده و در مسائل بهینه‌یابی از آنها استفاده شده است؛ اصول پایه‌ی این روش توسط هولند ارائه شده است.<sup>[۱۲]</sup> استفاده از الگوریتم ژنتیک حتی در تحلیل دو بعدی پایداری شیروانی‌ها نیز موضوعی جدید به شمار می‌رود و از آغاز پژوهش‌ها در این باب بیش از یک دهه نمی‌گذرد.

الگوریتم ژنتیک ذاتاً در یافتن پاسخ‌های نزدیک به مقدار بهینه بسیار خوب عمل می‌کند، اما از آنجا که در رسیدن به مقدار بهینه موضعی که شاید نقاوت سیار کمی با پاسخ یافته شده داشته باشد ناتوان است، توانایی مقایسه‌ی منطقی بین حوزه‌های جواب را در محیط‌هایی با حوزه‌های جواب متفاوت و مقدار مطلوبیت نزدیک به هم، از دست می‌دهد. برای یافتن پاسخ‌های بهینه‌ی محلی می‌توان از روش‌های مبتنی بر سعی و خطای در یک حوزه‌ی مشخص از جواب‌ها استفاده کرد. ایجاد ترکیبی بین توانایی‌های جستجوی سراسری و جستجوی محلی منجر به تشکیل الگوریتمی قدرتمند می‌شود. لذا در تحقیق حاضر از ترکیب دو روش کلی روش‌های مورد استفاده اشاره می‌شود.

### ۱.۱.۱۱ الگوریتم ژنتیک

در این روش هر متغیر به صورت یک ژن، و مجموعه‌ی از متغیرها به عنوان یک کروموزوم (فرد) در نظر گرفته می‌شوند. در بهینه‌یابی به روش الگوریتم ژنتیک، مجموعه‌ی از افراد (کروموزوم‌ها) به عنوان یک نسل در نظر گرفته شده و با الگو گرفتن از قوانین موجود در علم و راثت و استفاده از فرایند‌های آماری، به تولید فرزندان با ویژگی‌های بهتر (جواب‌های بهتر مسئله) برای نسل بعدی پرداخته می‌شود. طبق فلوچارت نشان داده شده در شکل ۵، مراحل اصلی الگوریتم ژنتیک عبارت است از:

۱. کدگذاری<sup>۳</sup> به منظور تعریف متغیرها؛
۲. ایجاد جمعیت اولیه به عنوان اولین نسل از جواب‌ها؛
۳. ارزیابی جواب‌ها براساس تابع هدف و بررسی میزان برازنده‌گی<sup>۴</sup> آنها؛
۴. کنترل معیار کفایت بهینه‌سازی؛
۵. انتخاب<sup>۵</sup> برخی از جواب‌ها به عنوان والدین؛
۶. ترکیب<sup>۶</sup> جواب‌ها؛
۷. جهش<sup>۷</sup>؛
۸. تزریق<sup>۸</sup>.

که در آن  $a_i$  عددی حقیقی است که به صورت تصادفی و کاملاً مستقل برای هر زن ( $Var$ ) در محدوده  $(0, 1/20)$  انتخاب می‌شود. لازم به ذکر است که در این تحقیق، فقط  $50$  درصد کروموزوم‌های هر نسل از ترکیب والدین منتخب نسل قبلی به وجود می‌آیند. از باقی مانده‌ی کروموزوم‌ها نیمی به روش جهش و نیمی با تزریق جواب‌های مطلوب نسل قبلی تولید می‌شوند.

### ۷.۱.۷. جهش

در علم و رانست پدیده‌ی بهنام جهش ژنتیکی وجود دارد که طی آن، با ایجاد تغییری خارج از روند معمول در یک کروموزوم، کروموزوم جدیدی تولید می‌شود که ممکن است نسبت به کروموزوم اولیه از مطلوبیت بیشتری برخوردار باشد. این پدیده در بهینه‌یابی به روش الگوریتم ژنتیک نیز شیوه‌سازی شده است. کارایی و مزیت اصلی ایجاد جهش در جواب‌ها، که غالباً پس از ترکیب برخی اعضاء صورت می‌گیرد، امکان دست‌یابی به جواب‌های خارج از حوزه‌ی دیگر جواب‌ها و کاهش احتمال دست‌یابی به یک جواب بهینه‌ی نسبی به جای مقدار بهینه‌ی مطلق است. در این تحقیق ایجاد جهش در جواب‌ها با اضافه‌ی یا کم کردن یک مقدار تصادفی به برخی متغیرهای تشکیل دهنده‌ی یک جواب صورت می‌گیرد.

### ۷.۱.۸. تزریق

به منظور افزایش کارایی الگوریتم ژنتیک، لازم است برخی از بهترین کروموزوم‌ها برای بقا در نسل بعد حفظ شوند. در این تحقیق  $25$  درصد جمعیت اولیه که بیشترین برازنده‌گی را دارند، بدون تغییر به نسل جدید مستقل می‌شوند.

## ۲. سیستم پویش محلی

پس از تولید جمعیت جدید در هر نسل، نوبت به دخالت روند ترکیبی پویش محلی می‌رسد. بدین منظور کروموزوم دارای مطلوبیت بالاتر انتخاب شده و نواحی اطراف آن به صورت محلی و با دقت بیشتری مورد وارسی قرار می‌گیرد. در نتیجه، اگر سطح لغزشی متناظر با ظرفیت برابری کمتر در اطراف این کروموزوم یافت شود، با آن جابجا می‌شود و بهبود موضعی در مقدار مطلوبیت حاصل می‌شود. پویش محلی در هر مرحله با استفاده از ترکیب زیر برنامه‌هایی صورت می‌گیرد که هر یک مختصه بهینه‌سازی یک متغیر نند. با این فرض که مقدار اولیه‌ی پارامتر  $\Delta$  برابر  $0.64$  باشد و نیز با استفاده از زیر برنامه‌ی مرتبط، از مقدار اولیه‌ی متغیر یکبار به اندازه‌ی  $\Delta$  کاسته و یکبار به آن اضافه می‌شود؛ جواب بهتر از میان سه حالت مورد بررسی انتخاب می‌شود. در صورت بهبود نسبی جواب، این مرحله مجدداً تکرار می‌شود و در غیر این صورت مقدار  $\Delta$  نصف  $(\Delta/2)$ ، و سعی و خطا تکرار می‌شود. البته بهینه‌سازی هر متغیر ممکن است با دیگر متغیرها مرتبط باشد. لذا، در مواردی از زیر برنامه‌های یادشده به صورت هم‌زمان و به‌شکل ترکیبی استفاده می‌شود.

### ۳. بررسی کارایی الگوریتم ژنتیک مورد استفاده

به منظور بررسی کارایی این الگوریتم و انتخاب مقادیر مناسب برای برخی پارامترهای مرتبط، از قبیل تعداد تولید نسل‌های لازم و تعداد جمعیت مناسب در هر نسل ( $N_p$ )، با در نظر گرفتن نمونه‌هایی از مسائل ظرفیت برابری، تحلیل‌های پارامتری انجام شد. این تحلیل‌ها با استفاده از نرم‌افزار تدوین شده در محیط ویژوال بیسیک صورت گرفته‌اند. در شکل  $6$  تأثیر میزان جمعیت هر نسل ( $N_p$ ) بر روند بهینه‌یابی و سرعت رسیدن به جواب بهینه برای مسئله‌ی نمونه‌ی تعیین ظرفیت برابری نشان داده شده است. ملاحظه می‌شود که با افزایش پارامتر  $N_p$  در روند رسیدن به جواب

تحقیق حاضر، بیشترین نسل‌های ایجادشونده به عنوان ورودی برنامه تعریف شده و برنامه‌ی پس از تولید  $50$  نسل اول، قبل از شروع هر چرخه‌ی تولید مثل، بهینه‌شدن جواب‌ها را نسبت به جواب‌های  $50$  نسل قبلی کنترل می‌کند. با توجه به تحلیل‌های انجام‌شده، چنانچه جواب بهینه نسبت به  $50$  نسل قبلی بهبودی نداشته باشد، روند بهینه‌سازی متوقف می‌شود. بیشینه نسل‌های ایجادشده به تعداد  $200$  نسل در نظر گرفته شده است.

### ۵. انتخاب

در صورت لزوم ادامه‌ی چرخه‌ی تولید مثل، با توجه به ارزش و شایستگی کروموزوم‌های نسل قبلی و بهمکم قوانین احتمالاتی، کروموزوم‌های برتر به عنوان والدین انتخاب شده و در مرحله‌ی بعد، طی عملگرهای ترکیب و جهش، بخشی از نسل جدید را تولید می‌کنند. ابتدا باید با توجه به مقدار تابع هدف متناظر با هر جواب در مقایسه با سایر جواب‌ها، برازنده‌گی آن جواب مشخص و احتمال انتخاب آن محاسبه شود. بدین منظور تعاریف مختلفی مورد استفاده قرار می‌گیرند که از جمله می‌توان به پارامتر  $SP$  اشاره کرد. مقدار این پارامتر همواره بزرگ‌تر از  $1$  بوده و با انتخاب مقدار بزرگ‌تر برای آن احتمال انتخاب جواب‌های متناظر با تابع هدف بهتر، بیشتر خواهد بود. در تحقیق حاضر مقدار این پارامتر برابر با  $1/9$  در نظر گرفته شده است. به منظور تعیین مطلوبیت جواب‌ها غالباً از رتبه‌بندی جواب‌ها به در روش خطی و غیر خطی استفاده می‌شود. در روش رتبه‌بندی خطی (مورد استفاده در تحقیق حاضر) ابتدا جواب‌ها بر حسب مقدار مطلق تابع هدف (به ترتیب صعودی) مرتب شده و موقعیت هر جواب به صورت عددی طبیعی بین  $1$  تا  $N_p$  (جمعیت هر نسل) فرض می‌شود. به عبارت دیگر، موقعیت ( $Pos$ ) متناظر با بهترین جواب  $N_p$  خواهد بود. سپس برازنده‌گی هر جواب با استفاده از رابطه‌ی  $29$  محاسبه می‌شود:

$$Fitness(Pos) = 2 - SP + 2 \left( \frac{Pos - 1}{N_p - 1} \right) \quad (29)$$

مطلوبیت نسبی، و به عبارتی احتمال انتخاب هر جواب برابر خواهد بود با:

$$Prob(Pos) = \frac{Fitness(Pos)}{\sum_{j=1}^{N_p} Fitness(j)} \quad (30)$$

با تعیین احتمال انتخاب هر جواب، از روش چرخ گردان<sup>۹</sup> برای انتخاب تعدادی از اعضاء به عنوان والدین استفاده شده است. در این روش هر جواب با کروموزوم حاضر در جمعیت، قطاعی از چرخ گردان را تشکیل می‌دهد. البته مساحت این قطاع ها متناظر با احتمال انتخاب جواب است.

### ۶. ترکیب یا تزویج

به منظور ایجاد کروموزوم‌های بهبودیافته در نسل جدید، کروموزوم‌های با مطلوبیت بیشتر که در گام قبلي انتخاب شده‌اند به عنوان والدین فرض شده و از ترکیب آنها کروموزوم‌های جدید متولد می‌شوند. با توجه به نوع کدگذاری مورد استفاده، روش‌های مختلفی برای ترکیب کروموزوم‌ها در الگوریتم‌هایی با کدگذاری طبیعی و یا دودویی معرفی شده است. در تحقیق حاضر، با توجه به انتخاب سیستم کدگذاری طبیعی، از روش ترکیب واسطه<sup>۱۰</sup> استفاده شده است. در این روش پس از انتخاب والدین  $P_1$  و  $P_2$ ، از ترکیب خطی  $\theta$  و طبق رابطه<sup>۱۱</sup> به  $\theta$  متناظر در کروموزوم جدید دست می‌یابیم:

$$Var_i^{new} = Var_i^{P_1} \cdot a_i + Var_i^{P_2} \cdot (1 - a_i); \quad i \in \{1, 2, \dots, 16\} \quad (31)$$

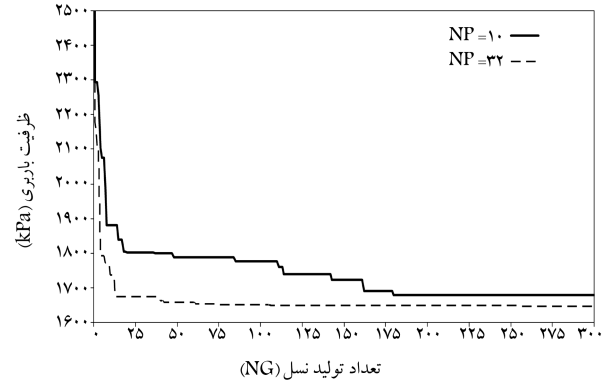
نریدیکتر است. برای بررسی میزان بهبود جواب‌های مکانیسم پیشنهادی، نتایج به دست آمده با نتایج مرز بالای حاصل از فرض مکانیسم‌های متشکل از ۳ بلوک چندوجهی دارای انتقال<sup>[۱۴]</sup> و نیز روش مرز بالای مبتنی بر مکانیسم گسیختگی دورانی مقایسه شده است. ملاحظه می‌شود که ضرایب حاصل از فرض مکانیسم دورانی در خاک‌های اصطکاکی سیار دست بالا بوده و حتی تا ۲ برابر افزایش داشته است. همچنین ضرایب حاصل از فرض مکانیسم پیشنهادی همواره بهتر (کمتر) از نتایج مکانیسم‌های دورانی و یا انتقالی (دارای سه بلوک) بوده است. یادآور می‌شود نتایج حاصل برای مکانیسم دورانی دارای سطح لوگ مارپیچ، با تدوین برنامه‌یی ساده مبتنی بر روش تحلیل حدی مرز بالا و در جریان همین تحقیق به دست آمده است.

## ۲.۸. پی تحت اثر بار محوری مایل

در این بخش نتایج حاصل با نتایج ارائه شده توسط جیاج و همکاران<sup>[۱۵]</sup> که مبتنی بر روش تحلیل حدی است مقایسه می‌شود. لازم به ذکر است که ایشان با استفاده از شیوه‌های پیشرفتی عددی مبتنی بر روش تحلیل حدی، مرزهای بالا و پایین ظرفیت باربری پی‌نواری تحت بارگذاری مورب را با دقت مناسب (حداکثر ۳ درصد اختلاف) ارائه کرده‌اند، اما نتیجه‌یی در زمینه‌یی پی تحت بار خارج از محور ارائه نکرده‌اند.

در جداول ۲ و ۳ به ترتیب، ضریب ظرفیت باربری ( $N_c$ ) و نسبت ظرفیت باربری ( $c/q$ ) پی‌نواری واقع بر خاک دارای وزن  $0,5 \gamma B/2c = 0,5$  تحت بارگذاری محوری قائم و مایل حاصل از الگوریتم پیشنهادی و مرزهای پایین و بالای حاصل از تحلیل‌های عددی توسط جیاج و همکاران ارائه شده است.

ملاحظه می‌شود که ضرایب مرز بالای حاصل از الگوریتم پیشنهادی مبتنی بر سه بلوک صلب بسیار نریدیک به نتایج حاصل از کاربرد روش‌های عددی و در برخی موارد، حتی کمتر از جواب‌های مرز بالا بوده است که این مطلب مؤید کارایی بالای مکانیسم گسیختگی مورد استفاده است.



شکل ۶. تأثیر میزان جمعیت هر نسل ( $N_p$ ) بر روند بهینه‌یابی با استفاده از الگوریتم زنگیک.

بهینه تسریع می‌شود. در هر حال جواب مسئله در نسل‌های کمتر از ۲۰۰ به مقدار بهینه نریدیک می‌شود.

## ۸. بررسی نتایج حاصل از الگوریتم پیشنهادی

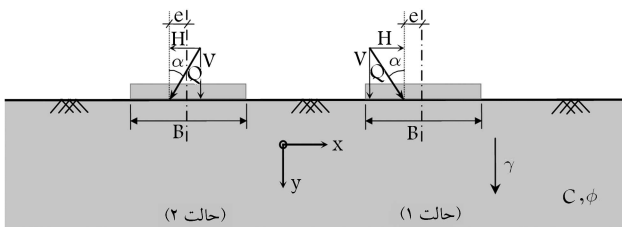
برای بررسی ویژگی‌ها و مزیت‌های مکانیسم گسیختگی پیشنهادی و نتایج حاصل از الگوریتم ارائه شده در این تحقیق، ظرفیت باربری پی‌نواری در سه حالت مورد مقایسه و بحث قرار می‌گیرد: اعمال بار قائم محوری بربی، اعمال بار محوری مایل بر بی، اعمال بار خارج از محور بر بی.

## ۸.۱. پی تحت اثر بار محوری قائم

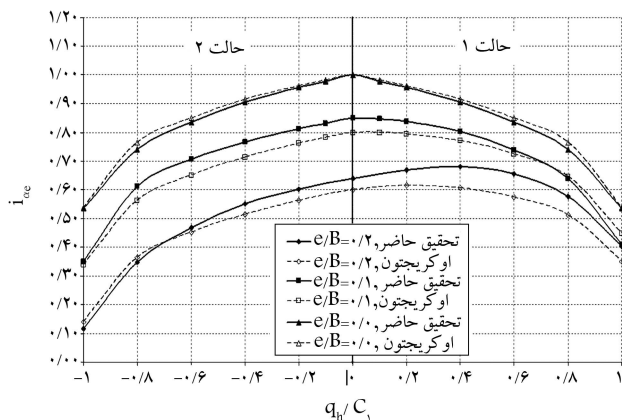
در جدول ۱ ضرایب ظرفیت باربری ( $N_c, N_q, N_\gamma$ ) حاصل از الگوریتم پیشنهادی با ضرایب پیشنهادی توسط محققین پیشین<sup>[۱۶]</sup> مقایسه شده است. ملاحظه می‌شود که با توجه به مرز بالا بودن روش پیشنهادی، نتایج به خصوص درمورد خاک‌های بالای اصطکاک کمتر از ۴۰ درجه از دقت مناسبی برخوردار بوده و به نتایج وسیک

جدول ۱. مقایسه‌یی ضرایب ظرفیت باربری حاصل از روش‌های مختلف با نتایج الگوریتم تحقیق حاضر. (پی‌نواری تحت بار قائم محوری است).

| تحقیق حاضر | مکانیسم دورانی | مکانیسم انتقالی | مایه‌ای | واسیک | مایه‌ای | ترزاقی | $N$        | $\phi$ |
|------------|----------------|-----------------|---------|-------|---------|--------|------------|--------|
| ۵/۱۷       | ۵,۵۰           | ۵,۲۹            | ۵,۱۴    | ۵,۱۴  | ۵,۱۴    | ۵,۷۰   | $N_c$      | ۰      |
| ۱,۰۰       | ۱,۰۲           | -               | ۱,۰۰    | ۱,۰۰  | ۱,۰۰    | ۱,۰۰   | $N_q$      |        |
| ۸,۳۸       | ۹,۱۵           | ۸,۷۴            | ۸,۳۴    | ۸,۳۴  | ۸,۳۴    | ۹,۶    | $N_c$      |        |
| ۲,۵۰       | ۲,۶۰           | -               | ۲,۵۰    | ۲,۵۰  | ۲,۵۰    | ۲,۷    | $N_q$      | ۱۰     |
| ۰,۸۵       | ۱,۰۵           | ۰,۸۷            | ۱,۲۲    | ۰,۳۷  | ۰,۳۷    | ۱,۲    | $N_\gamma$ |        |
| ۱۵,۰       | ۱۶,۹۷          | ۱۵,۹۸           | ۱۴,۸۳   | ۱۴,۸۳ | ۱۴,۸۳   | ۱۷,۷   | $N_c$      |        |
| ۶,۵۲       | ۷,۱۷           | -               | ۶,۴۰    | ۶,۴۰  | ۶,۴۰    | ۷,۴    | $N_q$      | ۲۰     |
| ۴,۷۹       | ۸,۰۱           | ۵,۰۱            | ۵,۳۹    | ۲,۸۷  | ۲,۸۷    | ۵,۰    | $N_\gamma$ |        |
| ۳۰,۷       | ۳۹,۸           | ۲۴,۲            | ۳۰,۱۴   | ۳۰,۱۴ | ۳۰,۱۴   | ۳۷,۲   | $N_c$      |        |
| ۱۹,۰       | ۲۲,۱           | -               | ۱۸,۴    | ۱۸,۴  | ۱۸,۴    | ۲۲,۵   | $N_q$      | ۳۰     |
| ۲۲,۰       | ۴۱,۸           | ۲۴,۹            | ۲۲,۴۰   | ۱۵,۶۷ | ۱۵,۶۷   | ۱۹,۷   | $N_\gamma$ |        |
| ۷۹,۸       | ۹۶,۲           | ۹۴,۸            | ۷۵,۳۱   | ۷۵,۳۱ | ۷۵,۳۱   | ۹۵,۷   | $N_c$      |        |
| ۶۹,۷       | ۸۴,۵           | -               | ۶۴,۱    | ۶۴,۱  | ۶۴,۱    | ۸۱,۳   | $N_q$      | ۴۰     |
| ۱۴۰,۰      | ۲۵۹            | ۱۵۵,۵           | ۱۰۹,۴   | ۹۳,۷۰ | ۹۳,۷۰   | ۱۰۰,۴  | $N_\gamma$ |        |



شکل ۷. پی نواری تحت اثر بار مولب خارج از محور.



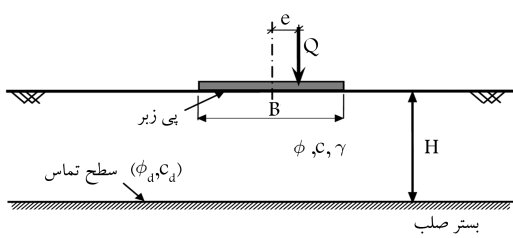
شکل ۸. مقایسه‌ی ضرایب کاهنده (i.e<sub>α</sub>) حاصل از الگوریتم پیشنهادی و تحقیقات قبلی. [۸] (پی نواری تحت اثر بار مایل خارج از محور واقع بر روی خاک چسبنده است).

ارائه شده توسط اوکریجتون در شرایط بارگذاری مختلف با یکدیگر مقایسه شده‌اند. در این شکل بیان‌گر مؤلفه‌ی افقی تنش اعمالی بر پی و ضریب چسبنده‌گی خاک است. چنان‌که مشاهده می‌شود در حالاتی که پی صرفاً تحت بارگذاری مایل فراز دارد ( $e/B = 0$ ) نتایج تقریباً بر هم منطبق‌اند. در حالت اعمال بار مایل خارج از محور نیز ملاحظه می‌شود که روند تغییرات در شرایط مختلف با یکدیگر هم خوانی دارد. در مواردی که پی تحت ممان قابل ملاحظه قرار داشته باشد، نتایج در حالت ۱ تفاوت بیشتری با یکدیگر نشان می‌دهند.

## ۹. کارایی ویژه مکانیسم پیشنهادی در مسائل خاص

قرارگیری بستر صلب سنگی در اعماق نسبتاً کم (شکل ۹) از جمله موارد کاربردی است که پیچیدگی مسائل تعیین ظرفیت باربری پی‌های سطحی را به دنبال دارد. وجود سنگ بستر در محدوده گسترش مکانیسم گسیختگی زیرپی، سبب محدودشدن عمق مکانیسم و افزایش بارگذاری بر شکل آن خواهد بود.

در عمدۀ تحقیقات صورت‌گرفته تاکنون، سنگ بستر به صورت زیر در نظر گرفته



شکل ۹. پی واقع بر لایه با ضخامت محدود تحت بار خارج از محور.

جدول ۲. مقایسه‌ی ضریب ظرفیت باربری  $N$  حاصل از الگوریتم حاضر با نتایج دیگر تحقیقات. [۱۰] (پی نواری تحت اثر بارهای محوری قائم و مایل است).

| الگوریتم<br>پیشنهادی | نتایج دیگر تحقیقات [۱۰] |       | $\phi$ | $\alpha$ |
|----------------------|-------------------------|-------|--------|----------|
|                      | U.B.                    | L.B.  | (درجه) | (درجه)   |
| ۶,۴۸                 | ۶,۵۶                    | ۶,۴۷  | ۵      |          |
| ۱۱,۰۴                | ۱۱,۱۵                   | ۱۰,۹۰ | ۱۵     |          |
| ۳۰,۶۶                | ۳۰,۸۸                   | ۲۹,۷۴ | ۳۰     |          |
| ۷۹,۸۰                | ۷۷,۲۳                   | ۷۴,۳۵ | ۴۰     |          |
| ۴,۲۹                 | ۴,۳۳                    | ۴,۲۵  | ۵      |          |
| ۷,۰۰                 | ۷,۰۴                    | ۶,۹۳  | ۱۵     |          |
| ۱۷,۴۸                | ۱۷,۷۹                   | ۱۷,۲۹ | ۳۰     |          |
| ۴۱,۲۰                | ۴۰,۶۵                   | ۳۸,۹۵ | ۴۰     |          |

جدول ۳. مقایسه‌ی نسبت ظرفیت باربری  $c/e$  به واقع بر خاک با  $۰,۵$  به دست آمده از الگوریتم پیشنهادی، با نتایج دیگر تحقیقات. [۱۰] (پی نواری تحت اثر بارهای محوری قائم و مایل است).

| الگوریتم<br>پیشنهادی | نتایج دیگر تحقیقات [۱۰] |        | $\phi$ | $\alpha$ |
|----------------------|-------------------------|--------|--------|----------|
|                      | U.B.                    | L.B.   | (درجه) | (درجه)   |
| ۶,۷۶                 | ۶,۷۹                    | ۶,۷۱   | ۵      |          |
| ۴۴,۰                 | ۴۳,۴۷                   | ۴۲,۱۶  | ۳۰     |          |
| ۱۵۷,۰                | ۱۴۱,۴۹                  | ۱۳۶,۳۹ | ۴۰     |          |
| ۲,۰۳                 | ۲,۰۵                    | ۲,۰۴   | ۵      |          |
| ۸,۶۸                 | ۸,۷۷                    | ۸,۶۳   | ۳۰     |          |
| ۲۲,۶۵                | ۲۱,۵۶                   | ۲۰,۹۷  | ۴۰     |          |

## ۳.۸. پی تحت اثر بار مایل خارج از محور

در روش‌های رایج تعیین ظرفیت باربری، ضرایب نیمه‌تجربی اعمال اثر میل بار (۰) و خروج از محوریت آن (۰) ارائه شده و در حالت ترکیبی (بار مایل خارج از محور) از حاصل ضرب آنها (۰) به عنوان عامل کاهنده‌ی ظرفیت باربری استفاده می‌شود. بنابراین غالباً اختلاف حالت‌های ۱ و ۲ در شکل ۵ در نظر گرفته نشده است.

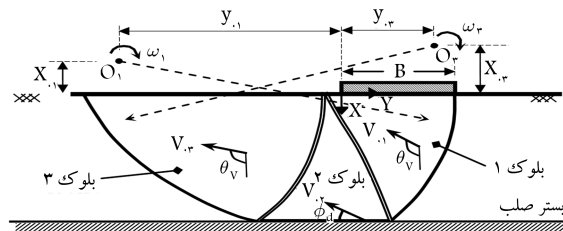
بررسی‌های انجام شده توسط اوکریجتون و همکاران [۸] در سال ۱۹۹۸ یکی از محدود تحقیقات انجام شده است که در آن اثر میل بار و خروج از محوریت آن به صورت همزمان بررسی شده است. در تحقیق یاد شده ظرفیت باربری پی‌های نواری واقع بر خاک‌های چسبنده با استفاده از روش‌های عددی مبتنی بر تحلیل حدی محاسبه شده و با ارائه‌ی نومادرهایی، اختلاف ظرفیت باربری پی در حالت‌های مختلف (نشان داده شده در شکل ۷) بررسی شده است. الگوریتم پیشنهادی در تحقیق حاضر دارای این قابلیت است که با در نظر گرفتن فقط سه بلاک می‌توان اثر خروج از محوریت بار مایل را در خاک‌های چسبنده و نیز اصطکاکی مورد بررسی قرار داد. در این بخش به منظور بررسی کارایی الگوریتم پیشنهادی در تعیین ضرایب کاهنده‌ی خروج از محور بار مایل با در نظر گرفتن جهت آن، مقایسه‌هایی با نتایج حاصل از تحقیقات سال ۱۹۹۸ [۸] صورت گرفته است.

در شکل ۸ ضرایب کاهنده (۰) حاصل از الگوریتم پیشنهادی و ضرایب

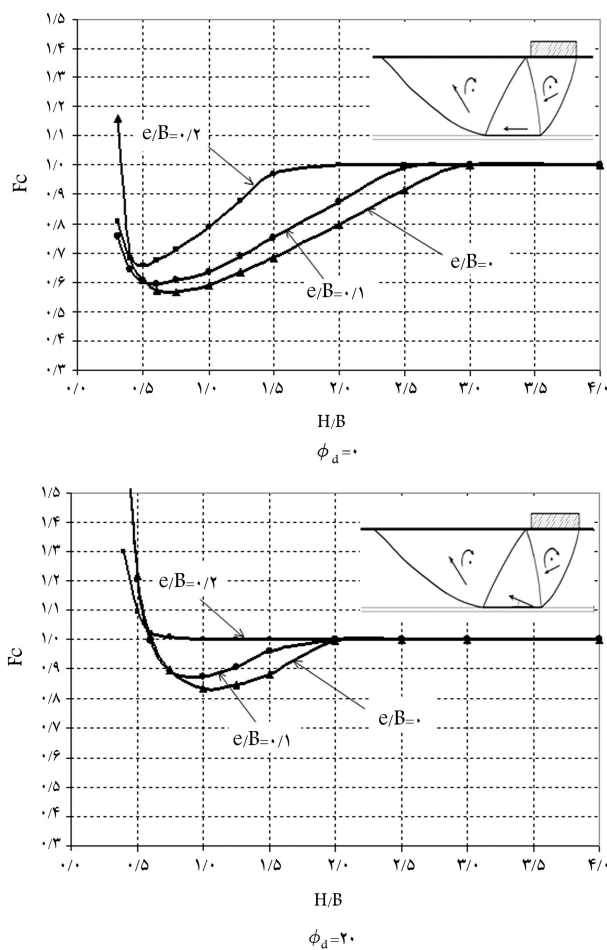
ازجمله مزایای مکانیسم پیشنهادی در این نوشتار کارایی خاص این مکانیسم در بررسی مسئله‌ی یادشده است. به عبارت دیگر، در حالت فرارگیری پی تحت اثر بارگذاری مركب بر روی لایه‌ی خاک متکی بر سنگ بستر صاف، فقط مکانیسم حاضر دارای قابلیت و کارایی مناسب برای مدل‌کردن سطوح گسیختگی زیرپی خواهد بود. در شکل ۱۰ نمونه‌ی از مکانیسم گسیختگی متشکل از سه بلاک فرضی نشان داده شده است. بلاک‌های اول و سوم دارای ترکیب حرکت‌های دورانی - انتقالی و بلاک دوم فقط دارای حرکت انتقالی در جهت مشخص شده در شکل ۱۰ است.

لذا مجموعاً ۱۱ متغیر توسط برنامه بهینه‌یابی می‌شوند.  
با استفاده از الگوریتم و برنامه‌ی تهیه‌شده، بررسی اثر عمق و مقاومت برشی سنگ بستر بر ظرفیت باربری شالوده تحت شرایط مختلف بارگذاری در خاک‌های چسبنده و اصطکاکی می‌شود. مثلاً در شکل ۱۱ میران تأثیر سنگ بستر کاملاً صاف ( $\phi_d = 0^\circ$ ) بر ظرفیت باربری پی نواری واقع بر خاک بدون وزن، تحت خروج از محوریت‌های مختلف، و در شکل ۱۲ این اثر برای پی نواری واقع بر خاک بدون وزن ( $\phi = 20^\circ$ ) متکی بر سنگ بستر صاف یا زیرنشان داده شده است. در این شکل‌ها، ضریب  $F_c$  عبارت است از نسبت ظرفیت باربری پی در حالت وجود سنگ بستر به ظرفیت باربری متناظر در حالت پی روی محیط نیمه‌بی‌نهایت. اثرات وجود سنگ بستر صاف در نزدیکی تراز پی را می‌توان از دو دیدگاه بررسی کرد: ۱. نزدیک شدن سنگ بستر به تراز پی (کاهش  $H/B$ ) سبب

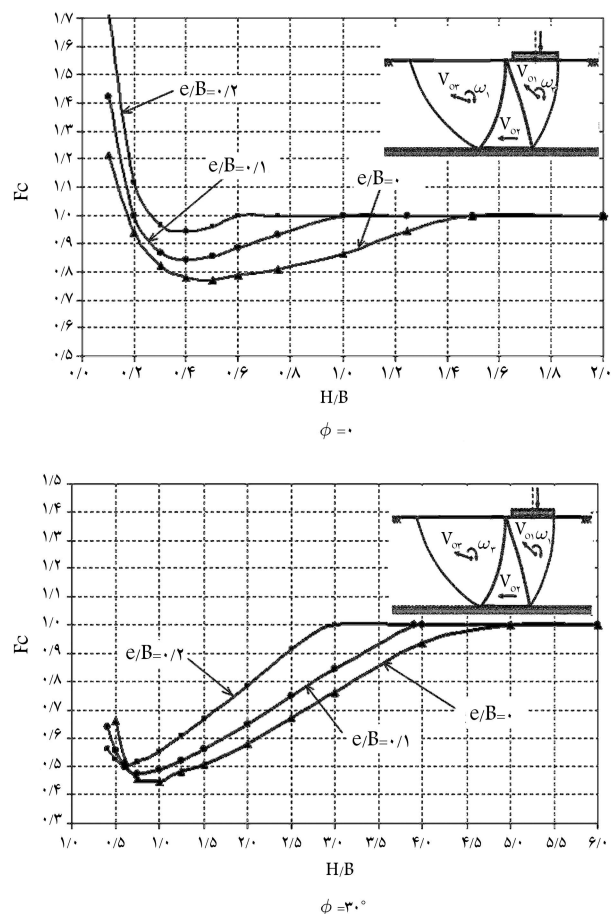
شده و اثر وجود آن همواره افزایش ظرفیت باربری بوده است، در حالی که در شرایط وجود سنگ بستر صاف ممکن است ظرفیت باربری پی کاهش یابد.  
اگر مقاومت برشی میان سنگ بستر و خاک فوکانی ( $c_d, \phi_d$ ) و نیز ضخامت لایه‌ی خاک (H) انک باشد، مکانیسم گسیختگی تاایل به لغزیدن روی سطح تماس بین خاک و سنگ بستر خواهد داشت. محققین این مسئله را فقط در حالت بارگذاری قائم محوری مورد بررسی قرار داده‌اند.<sup>[۱۵]</sup>  
در حالتی که پی تحت بار خارج از محور قرار دارد، لازم است از مکانیسم‌های گسیختگی دورانی استفاده شود، اما این مکانیسم‌ها در شرایط مذکور قادر به لغزیدن بر روی سطح تماس نیستند.



شکل ۱۰. مکانیسم گسیختگی پیشنهادی متشکل از دو بلاک دورانی - انتقالی و یک بلاک انتقالی.



شکل ۱۲. ضریب تأثیر سنگ بستر بر ظرفیت باربری پی تحت اثر بار خارج از محور ( $B/e$ ) واقع بر خاک بدون وزن (فصل مشترک لایه و سنگ بستر کاملاً صاف،  $\phi_d = 20^\circ$ ).



شکل ۱۱. ضریب تأثیر سنگ بستر بر ظرفیت باربری پی تحت بار خارج از محور ( $B/e$ ) واقع بر خاک بدون وزن (فصل مشترک لایه و سنگ بستر کاملاً صاف،  $\phi_d = 0^\circ$ ).

انتقالی یا دورانی در برخی حالات باعث ایجاد محدودیت می‌شود. این امر خصوصاً در مسائل تعیین ظرفیت باربری پی‌های تحت اثر بارگذاری مرکب مصدق می‌باشد. در تحقیق حاضر، به منظور رفع محدودیت مذکور، مکانیسم گسیختگی متشکل از بلوک‌های صلب دارای ترکیب حرکت‌های انتقالی و دورانی بر پایه‌ی روش تحلیل حدی مز بالا معرفی شده است. به منظور بررسی صحبت و دقت الگوریتم حاضر، نتایج حاصل در زمینه‌ی تعیین ظرفیت باربری پی‌های نواری تحت اثر بارگذاری مرکب با نتایج دیگر روش‌های موجود مقایسه شده‌اند. مقایسه‌ی نتایج بیان‌گر دقت مناسب روش پیشنهادی است. با استفاده از مکانیسم پیشنهادی، امکان تلفیق بلوک‌های با حرکت انتقالی و دورانی وجود دارد که با تکیه بر این قابلیت، تعیین ظرفیت باربری پی‌های واقع بر لایه‌های خاک با ضخامت محدود تحت بارگذاری مرکب میسر می‌شود. به منظور نشان دادن قابلیت ویژه‌ی این مکانیسم، برنامه‌ی مبتنی بر الگوریتم و مکانیسم پیشنهادی برای بررسی اثر عمق و مشخصات مقاومتی سنگ بستر بر ظرفیت باربری پی‌تدوین، و نمونه‌هایی از نتایج تحلیل‌های انجام شده ارائه شده است. به منظور بهینه‌یابی و تعیین مکانیسم گسیختگی بحرانی، الگوریتمی مبتنی بر ترکیب دو روش الگوریتم زتیک و سعی و خطای محلی توسعه یافته و مورد استفاده قرار گرفته است.

مقید شدن عمق مکانیسم گسیختگی زیر پی و درنتیجه افزایش ظرفیت باربری آن می‌شود؛ ۲. با توجه به مقاومت برشی ناچیز سنگ بستر صاف، با نزدیک شدن سنگ بستر امکان لغزش مکانیسم گسیختگی روی سنگ بستر و درنتیجه کاهش ظرفیت باربری وجود دارد. با نزدیک شدن سنگ بستر به پی، ابتدا عامل دوم غالب است و ظرفیت باربری کاهش می‌باشد، در حالی که برای اعماق خیلی کم (کمتر از H/B) بحرانی که تابع زاویه‌ی اصطکاک داخلی خاک است) عامل اول تأثیرگذارتر می‌شود و ظرفیت باربری به طور چشم‌گیری افزایش می‌باشد. همچنین وجود سنگ بستر تأثیر قابل ملاحظه‌ی بر کاهش ظرفیت باربری دارد، که با افزایش خروج از محوریت بار از میزان و دامنه‌ی تأثیر سنگ بستر بر ظرفیت باربری پی کاسته می‌شود.

## ۱۰. نتیجه‌گیری

یکی از مراحل مهم در بررسی مسائل پایداری با استفاده از روش تحلیل حدی مز بالا فرض مکانیسم گسیختگی تا حد ممکن نزدیک به واقعیت است، به‌نحوی که شرایط حاکم بر مسئله و ضروریات روش مورد استفاده را ارضاء کند. فرض حرکت صرفاً

## پابلوشت

1. yield function
2. associated flow rule
3. encoding
4. fitness
5. selection
6. recombination
7. mutation
8. reinsertion
9. roulette wheel
10. intermediate recombination

## منابع

1. Terzaghi, K., *Theoretical Soil Mechanics*, John Wiley and Sons, New York (1943).
2. Meyerhof, G.G. "The bearing capacity of foundations under eccentric and inclined loads", *Proc. 3rd ICSMFE, Zurich*, **1**, pp. 440-445 (1953).
3. Meyerhof, G.G. "Some recent research on the bearing capacity of foundations", *Can. Geotech. J.*, **1**, pp. 16-26 (1963).
4. Hansen, J., *A Revised and Extended Formula for Bearing Capacity*, Bull. N.98, The Danish Geotechnical Institute, Copenhagen, pp. 5-11 (1970).
5. Vesic, A.S. "Analysis of ultimate loads of shallow foundations", *J. Soil Mech. Found. Div., ASCE*, **99**(SM1), pp. 45-73 (1973).
6. Muhs, H. and Weiss, K. "The influence of load inclination on bearing capacity of shallow footings", *Proceedings of the 7th International Conference on Soil Mechanics and Foundation Engineering*, **2**, pp. 187-194 (1969).
7. Gottardi, G. and Butterfield, R. "On the bearing capacity of surface footings on sand under general planar loads", *Soils Found.*, **33**, pp. 68-79 (1993).
8. Ukrichon, B.; Whittle, A.J. and Sloan, S.W. "Undrained limit analyses for combined loading of strip footings", *J. Geotech. and Geoenv. Eng.*, **124**(3), pp. 265-275 (1998).
9. Marechal O., *Portance de Fondations Superficielles Etablies a Proximite de Talus et Soumises a des Charges Inclinees et Excentrees*, These de Doctorat de l'Ecole centrale de Nantes (1999).
10. Hjiaj, M.; Lyamin, A.V. and Sloan, S.W. "Bearing capacity of a cohesive-frictional soil under non-eccentric inclined loading", *Computers and Geotechnics*, **31**, pp. 491-516 (2004).
11. Chen, W.F., *Limit Analysis And Soil Plasticity*, Elsevier Science Publishing Company, Amesterdam (1990).
12. Farzaneh, O.; Askari, F. and Ganjian, N. "Three dimensional stability analysis of convex slopes in plan view", *ASCE, Journal of Geotechnical and Geoenvironmental Engineering*, V134, **8**, pp. 1192-1200 (2008).
13. Holland, J.H., *Adaptation in Natural and Artificial Systems*, University of Michigan Press, Ann Arbor, Mich (1975).
14. Farzaneh, O. and Askari, F. "3D Analysis of non-homogeneous slopes", *ASCE, Journal of Geotechnical and Geoenviromental Engineering*, V129, **2**, pp. 137-145 (2003).
15. Mandel, J. and Salencon, J. "Force portante d une fondation sur un bicouche a interface lisse", *C.R. Hebd. Seanc. Acad. Sci., Part A*, **268**, pp. 417-420 (1969b).

